

УДК 548.571;548.4

**АКУСТИЧЕСКИЕ ИССЛЕДОВАНИЯ  
ВЗАИМОДЕЙСТВИЯ ДИСЛОКАЦИЙ  
С ПОЛЯРИЗОВАННОЙ АТМОСФЕРОЙ АТОМОВ  
КИСЛОРОДА В НИОБИИ**

*B. V. Зонинашвили, И. А. Наскидашвили, В. А. Мелик-Шахназаров*

Методом низкочастотной акустики исследован процесс формирования и распада атмосферы атомов кислорода в ниобии, поляризованных в упругом поле дислокаций. Показано, что образование такой атмосферы приводит к уменьшению как времени, так и степени релаксации низкотемпературных релаксационных процессов, связанных с движением дислокаций. Предпринята попытка воспроизвести из акустических измерений потенциальный рельеф, обусловленный взаимодействием дислокаций с атмосферой поляризованных в ее упругом поле кислородных атомов.

Известно, что дальнодействующее взаимодействие дислокаций с точечными дефектами, обладающими тетрагональной симметрией (например, примеси внедрения типа O, C, N в ОЦК металлах), приводит к ориентационному упорядочению дефектов в упругом поле дислокаций. Образование таких поляризованных атмосфер (так называемых атмосфер Снука) протекает за времена, достаточные для перескока примеси всего на одно-два межатомных расстояния, и проявляется, с одной стороны, в увеличении напряжения течения [1, 2], а с другой — в уменьшении дислокационного поглощения звука [3, 4]. Однако, несмотря на то что измерение затухания звука является одним из наиболее распространенных способов исследования кинетики образования таких атмосфер, причины, приводящие при этом к его уменьшению, до сих пор не рассматривались. Кроме того, до настоящего времени нет экспериментальных данных о влиянии таких поляризованных атмосфер на релаксационные процессы, обусловленные движением дислокаций в ОЦК металлах, хотя исследование именно этих процессов во многом обусловило понимание тех закономерностей, которые определяют специфику пластической деформации в ОЦК металлах при низких температурах.

В настоящей работе представлены результаты акустических исследований процесса формирования и распада атмосферы атомов кислорода, поляризованных в упругом поле дислокаций, и влияния этой атмосферы на низкотемпературные релаксационные процессы в ниобии, связанные с движением дислокаций, а также предпринята попытка воспроизвести из акустических измерений потенциальный рельеф, обусловленный взаимодействием дислокаций с атмосферой поляризованных в ее упругом поле атомов кислорода.

### 1. Методика эксперимента

Измерения проводились на установке для акустических исследований образцов в процессе их упругого нагружения или пластической деформации [5]. Образцы длиной 0.1 и диаметром 0.002 м представляли собой сдвоенный четвертьволновой вибратор с закрепленными в цангах растяж-

ной машины концами. Торсионная мода колебаний образца возбуждалась электростатическим методом на его резонансной частоте [6]. Поглощение звука (в единицах обратной добротности вибратора  $Q^{-1}$ ) определялось по декременту затухания свободных колебаний образца при помощи дифференциального амплитудного дискриминатора и счетчика импульсов. Меры, обеспечивающие однородность статических напряжений в объеме образца и высокую стабильность скорости деформации, позволили настолько понизить акустические шумы, что они не создавали помех при измерениях малых значений внутреннего трения ( $Q^{-1} \geq 5 \cdot 10^{-6}$ ) даже в столь чувствительном к акустическим шумам диапазоне частот ( $f \sim 10^3$  Гц). Помимо акустических исследований в процессе нагружения, аппаратура позволяла также регистрировать температурные спектры поглощения звука при постоянной растягивающей нагрузке и кривые возврата поглощения звука при постоянных температуре и нагрузке.

Исследования поглощения звука в зависимости от температуры или растягивающей нагрузки проводились на частоте  $\sim 1.3 \cdot 10^3$  Гц в интервале температур 120—300 К. Во всех экспериментах использовались образцы из чистого зонно-плавленого поликристаллического ниобия, которые после придания им соответствующей геометрии проходили следующую предварительную обработку: отжиг при  $T \sim 950^\circ\text{C}$  (после отжига образцы содержали  $\sim 1.5 \cdot 10^{-2}$  ат.% кислорода), пластическую деформацию растяжения  $\sim 7\%$  при комнатной температуре непосредственно в установке, выдержку при комнатной температуре и нулевой нагрузке в течение суток. Возросший после пластической деформации уровень поглощения звука, обусловленный увеличением плотности подвижных дислокаций, уменьшался в течение выдержки почти в два раза, причем это уменьшение завершалось в основном за несколько часов, и дальнейшая выдержка при комнатной температуре на величину  $Q^{-1}$  практически не влияла.

После описанной обработки образцов их предел текучести при комнатной температуре равнялся 280 МПа. Поскольку прикладываемые в дальнейшем напряжения не превышали  $\sim 200$  МПа, т. е. находились в квазиупругой области, вызываемые ими смещения носили обратимый характер.

Следует отметить, что подобная методика, т. е. акустические измерения образцов при наличии квазиупругих напряжений, использовалась ранее для исследования закрепления дислокаций атмосферами Коттрелла в ГЦК металлах [7, 8].

## 2. Экспериментальные результаты

На рис. 1 представлены зависимости дислокационного поглощения звука от упругой нагрузки с последующим возвратом. Измерения проводились при комнатной температуре. Скорость нагружения составляла  $\dot{\sigma} \sim 0.5 \text{ МПа} \cdot \text{с}^{-1}$ . Как видно из этого рисунка, после выдержки образца при нулевой нагрузке в течение суток поглощение звука в процессе нагружения увеличивается, выходя на насыщение (кривая 1), а затем, после прекращения активного нагружения при достижении напряжений  $\sigma \sim 110$  МПа и выдержки образца при этих напряжениях, наблюдается почти полный возврат поглощения звука за времена  $\sim 10^4$  с (точки на рис. 2). Надо отметить, что в не деформированных предварительно образцах поглощение звука практически не зависит от нагрузки, если нагружение осуществляется в упругой области. Последующая разгрузка снова приводит к увеличению  $Q^{-1}$  (кривая 3) с почти полным его возвратом в процессе выдержки при  $\sigma=0$  (точки на кривой 4). Кинетика возврата хорошо описывается выражением

$$(Q^{-1} - Q_0^{-1})/(Q_m^{-1} - Q_0^{-1}) = \exp - (t/\tau)^{1/2},$$

предложенным в [4] для описания процесса формирования атмосферы Снука из кислородных атомов в ниобии,  $\tau = 7.0 \cdot 10^3$  с для  $\sigma = 110$  МПа и  $\tau = 6.7 \cdot 10^3$  с для  $\sigma = 0$  (сплошные линии 2, 4 соответственно). Эти значения  $\tau$  достаточно близки к времени релаксации, обусловленному пере-

ориентацией атомов кислорода в матрице  $\tau_0 \sim 1.4 \cdot 10^4$  с, что позволяет связать процесс возврата дислокационного поглощения звука (рис. 1, 2, 4) с формированием упорядоченной (или поляризованной) атмосферы атомов кислорода около дислокаций. Отметим, что времена релаксации  $\tau$ , полученные в эксперименте, несколько меньше  $\tau_0$ , но, как показано в [9], времена, необходимые для формирования упорядоченной атмосферы примесных атомов в поле дислокаций, могут быть в несколько раз меньше,

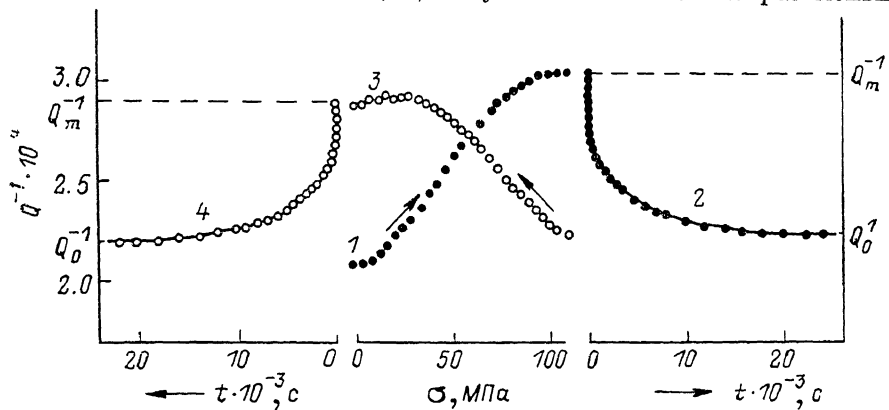


Рис. 1. Зависимость дислокационного поглощения звука от упругой нагрузки с последующим возвратом при  $T \sim 295$  К.

чем для их переориентации в матрице под влиянием внешних нагрузок. Итак, рис. 1 демонстрирует процесс выхода дислокаций из атмосферы поляризованных в поле дислокаций атомов кислорода (кривые 1, 3) и формирование этой атмосферы вновь около новых положений дислокаций при  $\sigma = 110$  МПа и  $\sigma = 0$  (кривые 2, 4 соответственно).

Зависимости дислокационного поглощения звука  $Q^{-1}$  от упругой нагрузки, снятые в процессе распада атмосферы Снука, образованной выдержкой образца при  $\sigma = 80$  МПа, при одновременном формировании ее

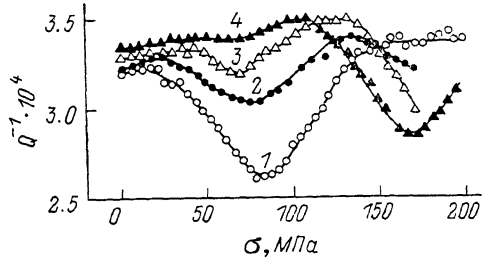


Рис. 2. Зависимость  $Q^{-1}$  от  $\sigma$ .

в процессе выдержки при  $\sigma = 170$  МПа, представлены на рис. 2. Эксперименты проводились при  $T \sim 295$  К. Для получения этих зависимостей образец выдерживался при  $\sigma \sim 80$  МПа в течение 20 ч, затем разгружался, и при последующем нагружении со скоростью  $0.5$  МПа·с<sup>-1</sup> снималась зависимость  $Q^{-1}$  от  $\sigma$  (кривая 1). После достижения упругих напряжений  $\sigma \sim 200$  МПа нагружение прекращалось, образец разгружался до  $\sigma \sim 170$  МПа и выдерживался при этой нагрузке в течение некоторого времени  $t$  с последующей разгрузкой и повторным нагружением. Зависимости  $Q^{-1}$  от  $\sigma$ , снятые в процессе нагружения после выдержки при  $\sigma = 170$  МПа в течение  $t = 0$  (1),  $3.6 \cdot 10^3$  (2),  $9 \cdot 10^3$  (3) и  $3.6 \cdot 10^4$  с (4), демонстрируют наличие характерного минимума  $Q^{-1}$  для положений дислокаций, которые определяются нагрузками  $\sigma \sim 80$  и  $\sim 170$  МПа, т. е. нагрузками, при которых шло формирование облака Снука. Из рис. 2 следует,

что сформированное выдержкой образца при  $\sigma \sim 80$  МПа облако Снука полностью распадается за время его формирования при  $\sigma \sim 170$  МПа. Причем при  $t \leq 10^4$  с для одного и того же дислокационного сегмента в образце могут одновременно существовать два пространственно разделенных облака Снука.

Нами также было исследовано влияние кислородного облака Снука на температурные спектры поглощения звука. Для этого температурные спектры снимались при одной и той же нагрузке  $\sigma \sim 130$  МПа в двух разных случаях, когда около дислокаций сформирована атмосфера Снука и когда ее нет. Как оказалось, в обоих случаях на температурном спектре проявляются две релаксационные полосы, температурное положение которых ( $T \sim 150$  и  $T \geq 230$  К) в деформированном ниобии для частот  $\sim 10^3$  Гц характерно для хорошо известных  $\alpha$  и  $\beta$  релаксаций [10], причем формирование снуковской атмосферы кислородных атомов около подвижных дислокаций приводит к уменьшению степени релаксации и смещению в сторону низких температур как  $\alpha$ , так и  $\beta$  процессов.

### 3. Обсуждение результатов

Как известно, наличие около дислокаций неподвижной поляризованной атмосферы примесных атомов адекватно наличию широкой (порядка 5—7 межатомных расстояний) потенциальной ямы, профиль которой был получен в [1, 9] путем машинного расчета. Это значит, что для смещения дислокации относительно центра атмосферы на расстояние  $\sim x$  требуются дополнительные усилия, причем градиент сил, возникающих при этом смещении  $\partial F_{SN}/\partial x$ , уменьшается по мере увеличения  $x$  [7] ( $F_{SN}$  — сила, приходящаяся на единицу длины дислокации). Тогда если в отсутствие атмосферы среднее смещение дислокации  $\Delta x$  под действием малых нагрузок  $\Delta\sigma$  равно  $b\Delta\sigma/C$  (где  $b$  — вектор Бюргерса;  $C$  — жесткость, обусловленная линейным натяжением дислокации), то при наличии атмосферы это смещение уменьшится и будет равно  $b\Delta\sigma/(C + \partial F_{SN}/\partial x)$ , т. е. наличие атмосферы увеличивает эффективную жесткость дислокационной линии  $C_{\text{вн}} = C + \partial F_{SN}/\partial x$ . Как показал Чамберс [10], независимо от того, чем обусловлен релаксационный процесс, связанный с движением дислокаций в ОЦК металлах, как время  $\tau_i$ , так и степень  $\Delta_i$  релаксации этого процесса обратно пропорциональны  $C_{\text{вн}}$ . При наличии около дислокаций неподвижной поляризованной атмосферы примесных атомов выражения для  $\tau_i$  и  $\Delta_i$ , полученные в [10], примут следующий вид:

$$\tau_i = \frac{1}{\mu_i(C + \partial F_{SN}/\partial x)}, \quad \Delta_i = \frac{ab^2 \Delta G}{C + \partial F_{SN}/\partial x}, \quad (1)$$

где  $\mu_i$  — подвижность дислокаций;  $\Delta$  — плотность подвижных дислокаций;  $G$  — модуль сдвига;  $a$  — ориентационный фактор;  $\partial F_{SN}/\partial x$ , как уже отмечалось, является функцией смещения дислокации относительно центра атмосферы  $x$ , а  $C$ , определяемое линейным натяжением, от  $x$  не зависит.

Воспользовавшись выражением (1) для определения  $Q^{-1}$  в диапазоне температур, соответствующем  $\alpha$  или  $\beta$  релаксациям, получим

$$Q^{-1} = \frac{\omega \tau_i}{1 + \omega^2 \tau_i^2} = \frac{ab^2 \Delta G \omega \mu_i}{(C + \partial F_{SN}/\partial x)^2 + (\omega/\mu_i)^2}, \quad (2)$$

где  $\omega$  — частота приложенного синусоидального напряжения  $\sigma_\sim$ . Подчеркнем, что, согласно (2),  $Q^{-1}$  непосредственно связано с градиентом силы, действующей со стороны атмосферы на дислокацию. Следует также иметь в виду, что ни  $\alpha$ , ни  $\beta$  полосы не являются простыми релаксационными процессами, так что в применении к  $\alpha$  или  $\beta$  процессам выражение (1) дает некий набор близлежащих значений времен и степеней релаксации. Исходя из (2), результаты (рис. 1) можно объяснить следующим образом. Выдержка образцов при той или иной растягивающей нагрузке в течение

определенного времени приводит к тому, что с течением времени растет число атомов кислорода, упорядочивающихся около соответствующего данной нагрузке положения дислокации. Это в свою очередь [9] увеличивает  $\partial F_{SN}/\partial x$ , что при фиксированной температуре, т. е. при фиксированном значении  $\mu_i$ , приводит к уменьшению  $Q^{-1}$  (рис. 1, 2, 4). Последующее увеличение или уменьшение нагрузки приводит к смещению дислокации относительно центра атмосферы, т. е. к увеличению  $x$ , что влечет за собой постепенное уменьшение  $\partial F_{SN}/\partial x$  до нуля, и, согласно (2), к увеличению  $Q^{-1}$  с выходом на плато (рис. 1, 1, 2). Аналогичным образом можно объяснить кривые на рис. 2. Температурный спектр можно понять, если учесть, что в отсутствие атмосферы  $\partial F_{SN}/\partial x=0$ , что, согласно (1), увеличивает и  $\tau_i$  и  $\Delta_i$ . Следовательно, образование атмосферы должно сдвигать релаксационные процессы как  $\alpha$ , так и  $\beta$  в сторону низких температур и уменьшать их по величине, что и наблюдается на эксперименте.

Следует обратить внимание на то, что  $\beta$  полоса оказалась плохо разрешенной. В диапазоне  $70^{\circ} \text{--} 230 \text{ K} \leq T \leq 300 \text{ K}$   $Q^{-1}$  почти не зависит от  $T$ , причем такое поведение наблюдается при наличии и отсутствии поляризованной атмосферы. Это позволяет связать поглощение звука  $Q^{-1}$  с градиентом силы  $\partial F_{SN}/\partial x$  более простым выражением, чем выражение (2). Действительно, считая,

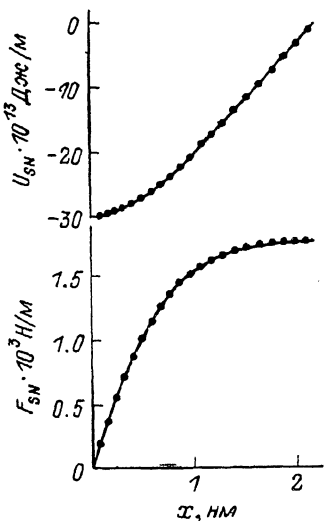


Рис. 3. Зависимости  $U_{SN}$  и  $F_{SN}$  от смещения  $x$  дислокации относительно центра атмосферы, полученные путем обработки результатов рис. 1, 1, с помощью выражения (4) при  $L=10^{-5}$  см.

что в этой области температур  $\omega\tau_i$  есть постоянная величина, близкая к единице, получим

$$Q^{-1} \sim \Delta_i/2 = ab^2 \Delta G / (C + \partial F_{SN}/\partial x). \quad (3)$$

Выражение (3) позволяет из зависимости  $Q^{-1}$  от  $\sigma$ , например такой, как на рис. 1, 1, довольно просто воспроизвести, по крайней мере качественно, профиль потенциального рельефа, обусловленного взаимодействием дислокации с неподвижной поляризованной атмосферой примесных атомов.

Действительно, поскольку на рис. 1, 1  $Q^{-1}$  достигает своего максимального значения  $Q_m^{-1}$  при  $\partial F_{SN}/\partial x=0$ , то из (3) следует, что

$$\partial F_{SN}/\partial x = C (Q_m^{-1}/Q^{-1} - 1). \quad (4)$$

Используя (4) и считая, что  $C$  определяется только линейным натяжением ( $C \sim \sigma G b^2/L^2$ , где  $L$  — средняя длина дислокационного сегмента), можно для разумных значений  $L$  путем обработки результатов рис. 1, 1 получить зависимость  $F_{SN}$  от  $x$ , а затем из полученной зависимости  $F_{SN}$  от  $x$  построить зависимость  $U_{SN}$  от  $x$ , считая что  $-\partial U_{SN}/\partial x=F_{SN}$ . Найденные таким образом зависимости  $F_{SN}(x)$  и  $U_{SN}(x)$  для обычных в нашем случае значений  $L \sim 10^{-5}$  см представлены на рис. 3. Как видно из этого рисунка, максимальное значение  $F_{SN}=1.75 \cdot 10^{-3}$  Н/м, что хорошо согласуется с теоретическими расчетами для концентрации кислорода  $\sim 0.015$  ат. % —  $1.85 \cdot 10^{-3}$  Н/м [11]. Смещение дислокации  $x$ , на котором достигается это значение ( $\sim 2$  нм), также хорошо согласуется со значениями смещений, необходимых для высвобождения дислокации из атмосферы ( $\sim 1.75$  нм), которые были получены в [9] путем машинного расчета.

Таким образом, результаты данной работы позволяют заключить, что движение дислокаций в поляризованной атмосфере кислородных атомов адекватно движению в широкой потенциальной яме, жесткость которой растет с увеличением степени поляризации атмосферы и уменьшается с расстоянием от дна ямы. Формирование такой атмосферы приводит к уменьшению времени и степени релаксации как  $\alpha$ , так и  $\beta$  процессов в ниобии. Исследования затухания звука в условиях упругого нагружения образцов позволяют в определенных условиях прощупать профиль потенциального рельефа, создаваемого поляризованной в упругом поле дислокаций атмосферой примесных атомов типа кислорода.

В заключение авторы выражают глубокую благодарность З. К. Саралидзе за полезные дискуссии, Л. М. Колесниковой и Н. Я. Ястребовой за помощь в проведении экспериментов, А. М. Уварову и И. А. Баглаенко за изготовление образцов.

#### Л и т е р а т у р а

- [1] Evans J. T., Douthwaite R. M. // Acta Metal. 1973. V. 21. N 1. P. 49—54.
- [2] Delobelle D., Varchon C. // Phys. St. Sol. (a). 1984. V. 83. N 1. P. 235—243.
- [3] Rosinger H. E., Craig G. B., Bratina W. J. // Phil. Mag. 1972. V. 25. N 6. P. 1331—1343.
- [4] Quist O. P., Carpenter S. H. // Acta Metal. 1975. V. 23. N 3. P. 321—328.
- [5] Зонинашвили В. В., Мессершмидт У., Мелик-Шахназаров В. А. и др. // ПТЭ. 1984. № 6. С. 175—178.
- [6] Мелик-Шахназаров В. А., Наскидашвили И. А. // ПТЭ. 1967. N 1. С. 181—184.
- [7] Sachse W., Green R. E. // J. Phys. Chem. Sol. 1970. V. 30. N 8. P. 1955—1961.
- [8] Lenz D., Edenhofer B., Lücke K. // Scripta Met. 1971. V. 5. N 5. P. 387—394.
- [9] Reed-Hill R. E. // Dislocat. Model. Syst. Proc. Conf. Gainsville, Fla. 1980. P. 163—167.
- [10] Физическая акустика / Под ред. У. Мезона. М., 1969. Т. III. А. 578 с.
- [11] Schoek G., Seeger A. // Acta Metal. 1959. V. 7. N 7. P. 469—477.

Институт физики АН ГССР  
Тбилиси

Поступило в Редакцию  
23 марта 1988 г.  
В окончательной редакции  
3 августа 1988 г.